

最小二乘估计残差的统计性质和应用

张 方 仁

摘要

最小二乘估计求得的观测值残差，有多种形式的定义，它们具有不同的分布。本文论述它们的概率分布和性质并讨论其用途。编算了多余观测分量 r_i 和标准化残差 e_i 的临界值表。此外，应用线性变换求得了不相关残差 $W = U^T V$ 和 $S = D_w^{-\frac{1}{2}} W$ 。建议用 S 作粗差检验，本文编制了相应于这种检验的 $\max_{1 \leq i \leq t} |S_i|$ 的临界值表，最后计算了一个实测的测边网，用求得的各种残差作了统计检验。

【关键词】 最小二乘估计残差；统计分布；多余观测分量；临界值；标准化残差

1 引言

设平差的函数模型（误差方程）为

$$V = B \cdot X - l, \quad R(B) = t \quad (1)$$

上式中 $B = [b_{(1)}, \dots, b_{(t)}] = [b_1 \dots b_n]^T$, $b_{(i)}$ 是 n 维向量, b_i 是 t 维行向量, $l = [l_1 \dots l_n]^T$ 是观测值向量, 定义残差 V 。

$$V = \hat{B}X - l = -(I - BN^{-1}B^T)l = -(I - H)l = -Q_V l \quad (2)$$

$N = B^T B$, $H = (h_{ij})$ 为帽子矩阵, Q_V 是 V 的协因数阵, V 为分析测量误差和评定精度等提供了丰富的信息。残差的种类很多, 其用处也不尽相同, 本文主要研究它们的统计性质和应用。

2 普通残差

(2)式所定义的残差称为“普通残差”。因为 $\text{Var}(v_i) = \sigma^2(1 - h_{ii})$, 故当 $h_{ii} \rightarrow 1$ 时, $\text{Var}(v_i) \rightarrow 0$ 。此时第*i*个误差方程对求参数估值所起的作用大, 在观测和平差时应特别注意。这样的点称为强权点。根据多元统计分析理论可导出

收稿日期: 1988-06-29

$$F_i^* = \frac{n-t}{t-1} \cdot \frac{h_{ii} - \frac{1}{n}}{1-h_{ii}} \sim F_{(t-1, n-t)} \quad (3)$$

当 $F_i^* > F_{\alpha; (t-1, n-t)}$ 时, 就认为是在显著水平 α 下的强权点。

用 r_i 表示第 i 个观测值的多余观测分量, 则

$$r_i = (Q_v P)_{ii} = (I - H)_{ii} = 1 - h_{ii} \quad (4)$$

上式是相应于等权的情形, 对于不等权观测, 亦有类似的公式。

$$\begin{aligned} V &= -(I - B(B^T P B)B^T P)l = -(I - B N^{-1} B^T P)l \\ &= -Q^{-\frac{1}{2}}(I - P^{-\frac{1}{2}} B N^{-1} B^T P^{-\frac{1}{2}})P^{-\frac{1}{2}}l = -Q^{-\frac{1}{2}}(I - H')P^{-\frac{1}{2}}l \end{aligned} \quad (5)$$

Q 是观测值 l 的协因数阵, $H' = (h'_{ij})$ 是帽子矩阵。

$$\text{因 } Q_v = Q^{-\frac{1}{2}}(I - H')Q^{-\frac{1}{2}} \quad (6)$$

$$\text{故 } r_i = (Q_v P)_{ii} = (Q^{-\frac{1}{2}}(I - H')Q^{-\frac{1}{2}}P)_{ii} = (I - H')_{ii} = 1 - h'_{ii} \quad (7)$$

由 (3)、(4)、(7) 式不难求得 r_i 的临界值。当

$$\frac{n-t}{t-1} \cdot \frac{h_{ii} - \frac{1}{n}}{1-h_{ii}} = \frac{n-t}{t-1} \cdot \frac{1-r_i - \frac{1}{n}}{r_i} \leq F_{\alpha; (t-1, n-t)}$$

$$\text{时 } r_i \geq \frac{(n-1)(n-t)}{n[n-t+F_{\alpha; (t-1, n-t)}]} = r_{\alpha} \quad (8)$$

$$\text{当 } \frac{n-t}{t-1} \cdot \frac{h_{ii} - \frac{1}{n}}{1-h_{ii}} = \frac{n-t}{t-1} \cdot \frac{1-r_i - \frac{1}{n}}{r_i} \geq F_{1-\alpha; (t-1, n-t)} \quad (9)$$

时 $r_i \leq \frac{(n-1)(n-t)}{n[n-t+F_{1-\alpha; (t-1, n-t)}]} = r_{1-\alpha}$

因此得到 r_i 的允许范围为

$$r_{\alpha} \leq r_i \leq r_{1-\alpha} \quad (i = 1, \dots, n) \quad (10)$$

若各误差方程能满足 (10) 式的要求, 当然是最理想的。但因为控制网的多余观测数是一定的, 因此当 r_i 满足 (10) 式的单侧要求时, 亦可认为基本上达到了可靠性指标的要求。

$\alpha = 0.05$

表 1

作者根据 (8)、(9) 式编算了临界值 r_{α} , $r_{1-\alpha}$ 表。这里仅给出 $\alpha = 0.05$ 的 r_{α} , $r_{1-\alpha}$ 值 (表 1), 可供应用时参考。

3 标准化残差 e' 和 e

普通残差的方差为 $\text{Var}(v_i) = \sigma^2(1 - h_{ii})$, 由于各个 v_i 的方差不相同, 因此直接用它们来判定观测值中是否含有粗差显然是不合适的。为此, 令

$$e'_i = \frac{v_i}{\sigma \sqrt{1 - h_{ii}}} \quad (11)$$

若 σ 已知，则 $e' \sim N(0, 1)$ 。但 σ 往往是未知的，一般可用 $\hat{\sigma} = (\|\hat{B}\hat{x} - l\|^2 / (n-t))^{1/2}$ 代替，则可得

$$e_i = \frac{v_{i+1}}{\hat{\sigma} \sqrt{1-h_{ii}}} \quad (12)$$

称 e_i 为“标准化残差”。关于 e_i 的分布密度的推证，可参阅文献[1]，这里直接给出结果。

记 $e = [e_1 \cdots e_n]^T$, $e_i = [e_{i+1} \cdots e_{i+m}]^T$

$$D = \text{diag}[1-h_{i+1,i+1}, \dots, 1-h_{i+m,i+m}]; \quad C_1 = D^{-1/2} (I - H_{11}) D^{-1/2}$$

H_{11} 为 H 阵中第 i_1, \dots, i_m 行和第 i_1, \dots, i_m 列交叉处的元素所构成的矩阵，当 $\epsilon \sim N(0, \sigma^2 I)$ 时， e_i 的分布密度为

$$f(e_i) = \begin{cases} \frac{\Gamma(\frac{n-t}{2}) |I - H_{11}|^{-\frac{1}{2}}}{\Gamma(\frac{n-m-t}{2}) [(n-t)\pi]^{\frac{m}{2}}} \prod_{j=1}^m (1-h_{i+j,i+j})^{-\frac{1}{2}} \left(1 - \frac{e_i^T C_1^{-1} e_i}{n-t}\right)^{\frac{n-m-t-2}{2}}, & e_i^T C_1 e_i \leq n-t \\ 0 & \text{其它} \end{cases}, \quad (13)$$

当 $m=1$ 时，就得到了 e_i 的分布密度。

$$f(e_i) = \begin{cases} \frac{\Gamma(\frac{n-t}{2})}{\Gamma(\frac{n-1-t}{2}) \Gamma(\frac{1}{2}) (n-t)^{\frac{1}{2}}} \left(1 - \frac{e_i^2}{n-t}\right)^{\frac{n-3-t}{2}}, & |e_i| \leq (n-t)^{\frac{1}{2}} \\ 0 & \text{其它} \end{cases}, \quad (14)$$

当 $m=1$ 且 $t=1$ 时，就得到 τ 变量的分布密度

$$\varphi(e_i) = \begin{cases} \frac{\Gamma(\frac{n-1}{2})}{\Gamma(\frac{n-2}{2}) \Gamma(\frac{1}{2}) (n-1)^{\frac{1}{2}}} \left(1 - \frac{e_i^2}{n-1}\right)^{\frac{n-4}{2}}, & |e_i| \leq (n-1)^{\frac{1}{2}} \\ 0 & \text{其它} \end{cases}, \quad (15)$$

根据(14)、(15)两式就能得出如下两点推论：

(1) 应用分布变换的方法，易证得 $\frac{e_i^2}{n-t}$ 为服从参数 $p = \frac{1}{2}$, $q = \frac{n-1-t}{2}$ 的Beta分布。

(2) 用密度公式可证得 $E(e_i) = 0$, $\text{Var}(e_i) = 1$, $\text{Cov}(e_i, e_j) = \frac{h_{ij}}{\sqrt{(1-h_{ii})(1-h_{jj})}}$ ($i \neq j$)。

因为 $\text{Cov}(e_i, e_j)$ 的数值一般都很小，所以常将 e_i 与 e_j 看作是不相关的。如再假定 $e_i \sim N(0, 1)$ ，则可对 e_i 作正态性检验。若先按Beta分布求出 $\frac{e_i^2}{n-t}$ 的临界值，再推算出 e_i 的临界值（表2给出了 $\alpha = 0.025, 0.05$ 的临界值），此检验就是严格的。

文献[5]中 β 分布表载有 x 值， x 是按下列公式计算出的

$$F_x(p, q) = \frac{1}{B(p, q)} \int_0^x t^{p-1} (1-t)^{q-1} dt = \alpha \quad (16)$$

上式中 $F_x(p, q)$ 是 β 变量的分布函数， $\alpha = 0.5, 0.25, 0.1, 0.05, 0.025, 0.01, 0.005, 0.0025, 0.001$ 等数值，但统计检验需要的是 $\alpha = 0.995, 0.99, 0.975, 0.95, 0.90$ 等值相应的 $1 - \alpha$ 。

因为 $F_{1-x}(q, p) = \frac{1}{B(q, p)} \int_0^{1-x} t^{q-1} (1-t)^{p-1} dt \quad (17)$

令 $t = 1-u$, 则 $1-t = u$, 而 $dt = -du$ 。将它们代入 (17) 式并相应的变换积分限, 就得:

$$F_{1-x}(q, p) = \frac{1}{B(q, p)} \int_1^x \mu^{p-1} (1-\mu)^{q-1} (-d\mu) \quad (18)$$

考虑到

$$B(q, p) = \frac{\Gamma(q)\Gamma(p)}{\Gamma(q+p)} = \frac{\Gamma(p)\Gamma(q)}{\Gamma(p+q)} = B(p, q)$$

则 $F_{1-x}(q, p) = \frac{1}{B(p, q)} \int_x^1 t^{p-1} (1-t)^{q-1} dt \quad (19)$

所以

$$\begin{aligned} F_x(p, q) + F_{1-x}(q, p) &= \frac{1}{B(p, q)} \left[\int_0^x t^{p-1} (1-t)^{q-1} dt \right. \\ &\quad \left. + \int_x^1 t^{p-1} (1-t)^{q-1} dt \right] = 1 \end{aligned} \quad (20)$$

根据 (20) 式再利用 β 分布表, 就可求得相应于 $\alpha = 0.995, 0.99, 0.975, 0.95, 0.90$ 等的 $1 - \alpha$ 值。

4 学生化残差 e^*

标准化残差的检验用数表, 文献 [2] 与本文编算了一部分, 但仍不能满足不同情况下使用的需要。为此, 定义另一种残差。

$$e_i^* = \frac{\nu_i}{\hat{\sigma}(i) \sqrt{1-h_{ii}}} \quad (i = 1, \dots, n) \quad (21)$$

e_i^* 称为 “学生化残差”, 上式中的 $\hat{\sigma}(i)$ 是根据模型 (17) 求的 σ 的估值。

$$V = B(i) \cdot X - l \quad (22)$$

用 $B(i)$ 、 $l(i)$ 分别表示从 B 、 l 中剔除第 i 行以后的矩阵和向量。用 $\hat{X}(i)$ 表示由模型 (22) 求得的 X 的最小二乘估值。

$$\hat{X}(i) = (B(i)^T B(i))^{-1} B(i)^T l(i) \quad (23)$$

$$\hat{\sigma}(i)^2 = l(i)^T [I - B(i)(B(i)^T B(i))^{-1} B(i)^T] l(i) / (n - 1 - i) \quad (24)$$

学生化残差的优点表现在:

(1) 在观测误差 $\varepsilon \sim N(0, \sigma^2 I)$ 条件下, v_i 和 $\frac{(n-1-t)}{\sigma^2} \hat{\sigma}^2(i)$ 分别服从于正态分布和 $\chi^2_{(n-1-t)}$ 分布, 且互相独立。因此 e_i^* 就服从于自由度为 $n-1-t$ 的 t 分布。

(2) 当检验和剔除粗差时, 若第 i 个观测值中含有粗差, 由于计算 $\hat{\sigma}(i)^2$ 时未采用该观测值, 从而排除了该粗差的影响, 提高了检验功效。

在计算 e_i^* 时不必对每个 i 用(24)式求 $\hat{\sigma}(i)^2$, 可用下列的简便计算公式^{(1),(3)}。

$$\hat{\sigma}(i)^2 = \frac{n-t-e_i^2}{n-1-t} \hat{\sigma}^2 \quad (25)$$

5 不相关残差 W

对普通残差 V 进行某种线性变换, 可使变换得到的残差 W 的各分量间互不相关。

V 的协因数阵 Q_V 是秩亏的, 其秩等于 $n-t$ 。这说明 V 中只有 $n-t$ 个分量是线性独立的。对 V 作如下的线性变换。

$$W = U^T V \quad (26)$$

称 W 为“不相关残差”。 U^T 的行向量间具有正交性。

$$\text{即: } U^T U = I_{n-t} \quad (27)$$

且 U^T 还满足下列条件

$$U^T B = 0 \quad (28)$$

这里的 0 是 $(n-t) \times t$ 的零矩阵, 在 $\varepsilon \sim N(0, \sigma^2 I)$ 的假定条件下, $W \sim N(0, \sigma_W^2 I_{n-t})$ 。

矩阵 U 是确实存在的, 对 Q_V 用雅可比方法作变换, 使成为

$$Q_W = \tilde{U} Q_V \tilde{U}^T$$

Q_W 为一对角阵, 对角线上的非零元素为 $\lambda_1, \dots, \lambda_{n-t}$, 它们就是 Q_V 的非零特征值, \tilde{U} 中的列向量就是 Q_V 的特征向量, 取 \tilde{U} 中相应于特征值为 $\lambda_1, \dots, \lambda_{n-t}$ 的特征向量就构成了 U 矩阵。

关于 W 的应用, 有以下两点意见:

(1) 当 $\varepsilon \sim N(0, \sigma^2 I)$ 时, 则 w_i 之间不仅不相关而且是相互独立的。因此可用它作 χ^2 拟合度检验、偏、峰态检验及夏皮罗检验等。

(2) 因 $D_W = \sigma^2 Q_W$, 记 $S = D_W^{-\frac{1}{2}} W$, 则 $S = [s_1, \dots, s_{n-t}]^T$ 为标准正态向量, 且 s_i 间是互相独立的, 故拟用它作为检验粗差的统计量。

取显著水平为 α , 现确定临界值 s_α 。

$$p(\text{所有的 } |s_i| \leq s_\alpha) = p(|s_1| \leq s_\alpha) \cdot p(|s_2| \leq s_\alpha) \cdots$$

$$p(|s_{n-t}| \leq s_\alpha) = p(\max_{i \leq n-t} |s_i| \leq s_\alpha) = 1 - \alpha \quad (30)$$

检验的关键在于求出 $\max_{i \leq n-t} |s_i|$ 的概率分布, 为此先求 $|s_i|$ 的分布函数 $\phi(x)$ 和分布密度 $\varphi(x)$ 。

$$\phi(x) = \int_{-\infty}^x f(t) dt = \int_{-\infty}^0 f(t) dt + \int_0^x f(t) dt$$

$$\psi(x) = \frac{d\phi(x)}{dx} = f(x) + f(-x) = 2f(x) = \sqrt{\frac{2}{\pi}} e^{-\frac{x^2}{2}}$$

若以 $F_n(x)$ 表示 $\max_{i \leq n-t} |s_i|$ 的分布函数，则不难证明

$$F_n(x) = P\left(\max_{i \leq n-t} |s_i| \leq x\right) = [\phi(x)]^{n-t} = \left[\int_0^x \sqrt{\frac{2}{\pi}} e^{-\frac{t^2}{2}} dt\right]^{n-t} \quad (31)$$

据此编算了 $\max_{i \leq n-t} |s_i|$ 的临界值表（表 3 给出 $\alpha = 0.025, 0.05$ 的临界值）

除以上四种残差外，还有其他的一些残差，因与测绘专业的应用结合得不密切，目前对它们的研究也还很不够，故不作介绍。

6 算 例

本文对一个测角网（图 1）进行了平差计算，算得各种残差，并作了相应的统计检验。该网有 2 个已知点，8 个未知点，38 个方向观测值。

1. 数据

I 组：是实测的观测数据，观测精度 $\sigma = 2.00''$ 。观测数据经过外业检核和各种统计检验，认为观测值中未含有粗差，系统误差亦不显著。

II 组：在 7 号实测方向值上减去 $8''$ ；在 20 号实测方向值上加上 $8''$ ；在 30 号实测方向值上加上 $8''$ ；其余均为实测方向值，其数值与 I 组的相同。

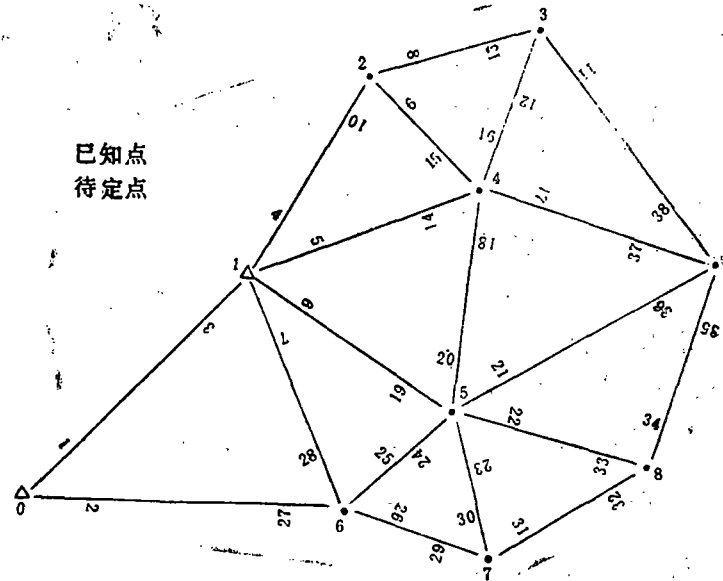


图 1

表 2

$n-1-t$	2	3	4	5	6	7	8	9	10	11	12	13	14
α													
0.025	1.689	1.847	1.941	2.000	2.041	2.070	2.092	2.109	2.123	2.134	2.143	2.151	2.157
0.05	1.645	1.757	1.814	1.898	1.870	1.855	1.896	1.904	1.910	1.916	1.920	1.926	1.926
$n-1-t$	15	16	17	18	19	20	22	24	26	28	30	40	60
α													
0.025	2.163	2.168	2.172	2.176	2.180	2.183	2.188	2.193	2.197	2.200	2.203	2.212	2.223
0.05	1.929	1.931	1.933	1.934	1.936	1.937	1.939	1.941	1.943	1.944	1.945	1.949	1.953

表 3

$n-t$	5	6	7	8	9	10	12	14	16	18	20	30	40
α													
0.025	2.804	2.862	2.911	2.952	2.988	3.020	3.075	3.120	3.160	3.190	3.224	3.338	3.417
0.05	2.569	2.631	2.683	2.727	2.766	2.800	2.857	2.907	2.948	2.984	3.016	3.137	3.220

表 4

序号	4	7	10	18	28	序号	4	10	29	34			
	v_i	$+0''99$	$-1''25$	$-0''81$	$+0''71$		v_i	$+5''85$	$-4''77$	$+1''36$	$-4''36$		
I	e_i	$+1''92$	$-2''12$	$-1''65$	$+1''22$	$+2''12$	III	e_i	$+2''59$	$-2''22$	$+0''62$	$-2''09$	
	e_i^*	$+2''21$	$-2''57$	$-1''80$	$+1''25$	$+2''56$		e_i^*	$+3''73$	$-2''76$	$+0''61$	$-2''51$	
	s_i					$+1''10$					$+4''47$		
	序号	18	25	30									
II	v_i	$-3''00$	$-0''16$	$-2''67$			IV	1	2	3	27	29	
	e_i	$-2''44$	$-0''12$	$-2''13$				v_i	$+5''00$	$-5''00$	$-5''00$	$+5''00$	$-0''11$
	e_i^*	$-3''30$	$-0''12$	$-2''59$				e_i	$+2''92$	$-2''92$	$-2''92$	$+2''92$	$-0''06$
	s_i			$-3''47$				e_i^*	$+5''19$	$-5''19$	$-5''19$	$+5''19$	$-0''05$
								s_i					$+6''27$

Ⅲ组：在4号实测方向值上减去 $15''$ ；在20号实测方向值上减去 $15''$ ；在34号实测方向值上加上 $15''$ ；其余均为实测方向值，其数值与I组的相同。

Ⅳ组：在3号实测方向值上加上 $15''$ ；在27号实测方向值上减去 $15''$ ；在31号实测方向值上减去 $15''$ ；其余均为实测方向值，其数值均与I组的相同。

2. 计算

对于四组数据分别计算了 v_i 、 e_i 、 e_i^* 、 w_i 及 s_i ，这些数值列在表4中；为了求得上述这些残差，还计算了参数 X 的估值 \hat{X} ，协因数阵 Q_v ， Q_v 的特征值 λ_i 和特征向量矩阵 U ，本文未列出这些数值。

3. 统计检验

(1) e_i 检验。以 $n-t=11$, $\alpha=0.05$ 查表2得临界值 $e_{0.05(11)}=1.916$ 。

I组：全部的 $|e_i| \leq 1.916$ 。

II组： $|e_{18}| = 2.44 > 1.916$ ， $|e_{30}| = 2.13 > 1.916$ ；其余的 $|e_i| \leq 1.916$ 。

III组： $|e_4| = 2.59 > 1.916$ ， $|e_{10}| = 2.22 > 1.916$ ， $|e_{34}| = 2.09 > 1.916$ ；其余的 $|e_i| \leq 1.916$ 。

IV组： $|e_1| = |e_2| = |e_3| = |e_{27}| = 2.92 > 1.916$ ；其余的 $|e_i| \leq 1.916$ 。

(2) e_i^* 检验。以 $n-t=11$, $\alpha=0.05$ 查t分布表，得临界值 $t_{0.025,(11)}=2.201$ 。

I组：全部的 $|e_i^*| \leq 2.201$ 。

II组： $|e_{18}^*| = 3.30 > 2.201$ ， $|e_{30}^*| = 2.59 > 2.201$ ；其余的 $|e_i^*| \leq 2.201$ 。

III组： $|e_4^*| = 3.73 > 2.201$ ， $|e_{10}^*| = 2.76 > 2.201$ ， $|e_{34}^*| = 2.51 > 2.201$ ；其余的 $|e_i^*| \leq 2.201$ 。

IV组： $|e_1^*| = |e_2^*| = |e_3^*| = |e_{27}^*| = 5.19 > 2.201$ ；其余的 $|e_i^*| \leq 2.201$ 。

(3) s_i 检验。该网的观测精度指标 $\sigma=2.00''$ ，根据实测数据算得 $\hat{\sigma}=0.96''$ 。作此项检验时取 $\sigma=1.50''$ 。以 $n-t=12$, $\alpha=0.05$ 查表5得 $\max_{i \leq 12} |s_i|$ 的临界值 $s_{0.05,(12)}=2.857$ 。

I组： $\max_{i \leq 12} |s_i| = 1.10 < 2.857$ 。

II组： $\max_{i \leq 12} |s_i| = 3.47 > 2.857$ 。

III组： $\max_{i \leq 12} |s_i| = 4.47 > 2.857$ 。

IV组： $\max_{i \leq 12} |s_i| = 6.27 > 2.857$ 。

7 结束语

普通残差一般不能充分反映观测误差的分布情况，绝对值大的残差并不一定出现在误差大的观测方向上。标准化残差和学生化残差的检验结果大致相同。有的观测方向中不含有粗差但还是有绝对值很大的 e_i 和 e_i^* ，有的观测方向中含有粗差，但它们的 e_i 和 e_i^* 的绝对值也不是很大，不过在较多的情况下， e_i 和 e_i^* 的绝对值大的方向观测值中确含有粗差，因此，对粗差检验来说， e_i 和 e_i^* 检验的总体效果还是较好的，其缺点在于还不能全部精确定位。 e_i 与 e_i^* 的检验功效大致相当，但因为计算 e_i^* 必须先算 $\hat{\sigma}(i)$ ，故似乎作 e_i 检验要稍方便些。

$\max_{i \leq n-t} |s_i|$ 检验有较好的效果，对于算例中的四种情形均作出了正确的判断。

建议对观测数据最好要进行多种检验，这样就有可能对观测质量作出正确的评价。对于观测误差服从另外的一些分布和观测值中含有系统误差的情形，本文还未用模拟数据进行计算分析，有待今后进一步研究。

参 考 文 献

- [1] 陈希孺, 王松桂. 近代回归分析——原理方法及应用. 安徽教育出版社, 1988.
- [2] 张方仁, 易法楷. 残差V和 τ 变量的概率分布及其应用. 武汉测绘学院学报, 1985(1).
- [3] 王松桂. 线性回归诊断. 数理统计与管理, 1985, 6.
- [4] 张方仁, 王 勇. 主成分检验和粗差定位. 武汉测绘科技大学学报, 1986(4).
- [5] Л. Н. БОЛЬЩЕВ, Н. В. СМНРНОВ. ТАБЛЧИ МАТЕМАТИЧЕСКОЙ СТАТИСТИКИ. ИЗДАТЕЛЬСТВО^{наука}, МОСКОВА 1965.

The Statistical Properties and Application of Least Squares Estimates of the Residuals

Zhang Fangren

Abstract

The residual of observations, derived from least squares estimation can be defined in a great variety of ways and they have different probability distributions. This paper deals with their probability distributions, properties and applications. The table for the critical value of the redundancy numbers $r_i = (Q_v P)_{ii}$ and the standar-dized residuals e_i are compiled. In addition, the independent residuals $W = U^T V$ and $S = D_w^{-\frac{1}{2}} W$ are derived by means of linear transformation. It is supposed that S can be used for the detection of gross errors, while the critical value table corresponding to this test has been given. Finally, the adjustment for a trilateration network has been carried out, and the statistical tests have been performed by using a variety of the residuals obtained from the adjustment.

[Key words] least squares estimates of the residuals; probability distribution; redundancy numbers; critical value; standardized residual; gross errors